マイクロ波多重回路による38画素超伝導転移端検出器の低雑音読出

Low-Noise Readout of 38-pixels Transition Edge Sensors with Microwave Multiplexers 産総研 ¹, 宇宙航空研究開発機構 ², 首都大学東京 ³, オランダ宇宙研究所 ⁴ 中島 裕貴 ^{1,2}, 平山 文紀 ¹, ⁰神代 暁 ¹, 山森 弘毅 ¹, 永沢 秀一 ¹, 佐藤 昭 ¹, 山田 真也 ³, 早川 亮大 ^{1,3}, 山崎 典子 ², 満田 和久 ², 永吉 賢一郎 ⁴, 赤松 弘規 ⁴ AIST ¹, JAXA ², TMU ³, SRON (Netherlands Institute for Space Research) ⁴ Y. Nakashima ^{1,2}, F. Hirayama ¹, ^oS. Kohjiro ¹, H. Yamamori ¹, S. Nagasawa ¹, A. Sato ¹, S. Yamada ³, R. Hayakawa ^{1,3}, N. Y. Yamasaki ², K. Mitsuda ², K. Nagayoshi ⁴, H. Akamatsu ⁴ E-mail: s-kohjiro [©] aist.go.jp

はじめに 計数率増大・短時間イメージングを 目指した超伝導検出器多画素化において、多画 素検出器の読出配線数と配線経由の極低温へ の流入熱低減のための超伝導多重読出回路は、 鍵技術である。マイクロ波帯周波数多重法 (MW-Mux)は、他の多重法に比べ広帯域ゆえ、 1 本の読出線への多重化画素数 U の1桁以上 の増大が期待されており、比較的低速のガンマ 線超伝導転移端検出器(TES)カロリーメータで *U*=128 が実現[1]され、ミリ波 TES ボロメータ では U≈2,000 の開発[2]が進められている。一 方、読出雑音 $\sqrt{S_I}[A/\sqrt{Hz}]$ は、常伝導抵抗 $R_N \approx 10$ mΩで光子入射に対するパルス波高電流値Ipの 大きい TES に対しては、TES 出力電流雑音よ り充分小さく、エネルギー分解能ΔE への寄与 は無視できた[1][2]。しかし、この $\sqrt{S_I}$ 値は、DC-SQUIDの単画素 TES 読出の値に比べ1 桁悪く、 $R_{\rm N}^{\approx}100~{\rm m}\Omega$ ・小 $I_{\rm P}$ 値の TES の低雑音読出は未 踏であった。また、ガンマ線やミリ波 TES よ り約1桁以上高速の X線 TES の U≥30 の低雑 音読出報告も皆無であった。私達は、世界で初 めて双方に成功したので、報告する。

実験 1024 画素 X 線 $TES(オランダ宇宙研開発; <math>R_N \approx 100 \text{ m}\Omega$, 臨界温度 $\approx 0.1 \text{ K}$) [3]、 TES と 強結合の MW-Mux(U=40)[4], 両者間信号線路と TES バイアス抵抗を搭載する Interface の 3 種チップを、5.9 keV 発光 Fe 線源を内蔵する銅製モジュールに実装の上、極低温用高透磁率材の磁気遮蔽筒に内蔵し、断熱消磁冷凍機で<0.1 K に冷却した。また独自開発の画素数スケーラブルな室温読出回路[5]1 系統を用いた。

結果 & 考察 図1に38 画素毎の ΔE を示す。 □は ΔE 実測値、赤実線は、 I_P の時間積分値(TES 応答関数を反映)および□測定時と同じ条件にTES バイアスと MW-Mux 励起マイクロ波電力を与えた時の系の雑音電力(NEP)とを基に計算した ΔE 、青実線は、入射光子に不感な TES バ

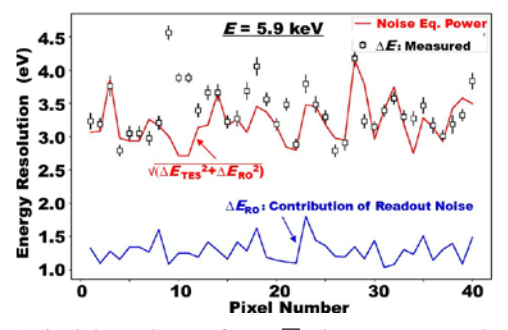


Fig. 1 Pixel dependence of ΔE . \square denotes measured ΔE , red line ΔE calculated from the response function of TES and system noise equivalent power (NEP), and blue line ΔE_{RO} (contribution of readout noise).

イアスを施した時の NEP に基く ΔE (\approx 読出回路 の寄与 ΔE_{RO})である。図 1 より以下がわかる。(1) 38 画素全てで $2.8 \le \Delta E$ (eV) ≤ 4.6 を得た。これは、E=5.9 keV に対し $E/\Delta E \ge 1 \times 10^3$ を満足し、MW-Mux による X 線 TES 読出画素数も $R_N \approx 10$ m Ω の報告値[6]を凌ぐ。(2)多くの画素において、口と赤実線の ΔE は近接する。これは、冷凍機の温度ゆらぎやバイアス電流ゆらぎが低く、系の安定性が高いことを意味する。(3) 38 画素全てで $1.0 \le \Delta E_{RO}$ (eV) ≤ 1.8 を得た。TES の本質的雑音の寄与 ΔE_{TES} 、TES と読出回路以外の要因(系の不安定性等)の寄与 ΔE_{OT} を用いると、

 $\Delta E^2 = \Delta E_{TES}^2 + \Delta E_{RO}^2 + \Delta E_{OT}^2$ 。。38 画素全てが、 $\Delta E/(\Delta E^2 - \Delta E_{OT}^2)$

と書ける。38 画素全てが、 $\Delta E/(\Delta E^2 - \Delta E_{\rm RO}^2)^{0.5}$ ≤ 1.16 を満たす。すなわち、 $R_{\rm N} \approx 100\,{\rm m}\Omega$ の TES に対し、読出雑音による ΔE 増加を 16%以下に とどめることに成功した。

謝辞 科研 JP18H01260, JST-CREST JPMJC17N4 MW-Mux チップ試作:産総研 CRAVITY

文献 [1] J. Mates et al., APL., **111**, 062601 (2017).

- [2] B. Dober et al., Appl. Phys. Lett, 111, 243510 (2017).
- [3] K. Nagayoshi et al., doi10.1007/s10909-019-02282-8.
- [4] Y. Nakashima et al., IEEE T.A.S., 29, 2100705 (2019).
- [5] S. Kohjiro et al., Super. Sci. Tech. **31**, 035005 (2018).
- [6] W. Yoon et al., J. Low Temp. Phys., 193, 258 (2018).